

تأثیر سرعت همزدن و دمای آب بر ویژگی‌های کدوی خشک‌شده طی فرایند بازجذب آب

سیما چرافی دهدزی^{۱*} و ناصر همدانی^۲

۱. عضو هیئت علمی دانشگاه آزاد اسلامی، واحد شوشتر، گروه علوم و صنایع غذایی، شوشتر، ایران

۲. استادیار گروه علوم و صنایع غذایی، دانشگاه کشاورزی، دانشگاه صنعتی اصفهان، اصفهان، ایران

(تاریخ دریافت: ۱۳۹۲/۷/۲۱ - تاریخ تصویب: ۱۳۹۳/۹/۱)

چکیده

در این تحقیق، اسلایس‌های کدو (ضخامت ۰/۰ سانتی‌متر و قطر ۴ سانتی‌متر) در محفظه بخار به مدت ۴ دقیقه آبزیم بری شدند. اسلایس‌های کدو پس از سردشدن، در خشک‌کن جریان هوای گرم با دمای ۶۰°C تا رسیدن به رطوبت ۰/۱۰۶۵ کیلوگرم آب در یک کیلوگرم ماده خشک، خشک شدند. بازجذب آب برش‌های کدوی خشک‌شده با وزن معین، در آب مقطر با دمای‌های گوناگون (۲۵، ۵۰، و ۷۵°C) با نسبت ماده خشک به آب ۱ به ۰،۲۵ در حالی که با سرعت‌های گوناگون (۰،۰ و ۲۰۰ دور در دقیقه) همزده می‌شد، انجام گرفت. در دوره‌های زمانی مشخص تا ۳۰۰ دقیقه، نمونه‌های کدو از آب خارج شد و وزن نمونه‌ها، میزان ماده خشک، و درصد جذب آب آنها تعیین گردید. رنگ اسلایس‌های کدو نیز در طول یک دوره ۱۸۰ دقیقه‌ای ارزیابی شد. بر اساس نتایج بدست آمده، زمان بازجذب، دما، و سرعت همزدن در سطح احتمال ۱ درصد، اثر معنی‌داری بر ماده خشک، درصد جذب آب، و شاخص‌های رنگ (L^* , a^* , b^* , و ΔE) در کدوی خشک‌شده داشته‌اند. در طول فرایند، درصد جذب آب و شاخص رنگ ΔE در برش‌های کدو افزایش یافته و میزان ماده خشک و شاخص‌های رنگ (L^* , a^* , و b^*) کاهش داشته است. کدوهایی که بازجذب آنها در آب با دمای ۷۵°C و با به کارگیری همزدن با سرعت ۲۰۰ دور در دقیقه صورت گرفته است، دارای درصد جذب آب و شاخص ΔE حداقل و کمترین میزان ماده خشک و شاخص‌های رنگ (L^* , a^* , و b^*) بودند.

کلیدواژگان: بازجذب آب، درصد جذب آب، شاخص‌های رنگ، کدو، همزدن.

موجب تغییرات زیادی در ساختار و ترکیبات بافت می‌شود که نتیجه آن صدمه به خواص ساختاری است. بازجذب آب می‌تواند به عنوان معیار اندازه‌گیری میزان صدمات حاصل از خشک‌کردن به ماده غذایی در نظر گرفته شود (Fellows, 1990). بازجذب آب فرایند پیچیده‌ای است که خصوصیات ایجادشده را بازسازی می‌کند. سه فرایند مهم در طول بازجذب رخ می‌دهد: دریافت آب به‌وسیله مواد خشک، تورم، و خروج مواد محلول (Moreira *et al.*, 2008).

بازجذب آب تحت تأثیر چندین عامل قرار دارد که به دو گروه عوامل داخلی و خارجی تقسیم‌بندی می‌شوند: عوامل داخلی مانند ترکیب شیمیایی محصول، پیش‌تیمارهای خشک‌کردن، فرمولاسیون محصول، شرایط و روش‌های خشک‌کردن، فرایندهای بعد از خشک‌کردن، و عوامل خارجی شامل ترکیب محیط شناورسازی، دما، و شرایط هیدرودینامیک (فشار) است. بعضی از این فاکتورها موجب تغییر در ساختار و ترکیب بافت‌های گیاهی می‌شوند، مانند کاهش استحکام دیواره سلولی یا خروج مواد محلول که موجب آسیب به خواص

مقدمه

جنس کدوییان (Cucurbita) دارای ۱۰ گونه گیاهی است که از این تعداد فقط ۵ گونه اهمیت زراعی دارند. گونه‌های پیپو (pepo)، موسچاتا (moschata)، و ماکسیما (maxima) معروف‌ترین گونه‌هایی هستند که در اغلب ارقام همراه با لکه‌های سفید یا سبز روشن است که در طول دوره تیره مشاهده می‌شود. گیاه به طور متوسط ۵ تا ۶ میوه تولید می‌کند که وزن هر میوه حدود ۱۰۰ تا ۲۰۰ گرم است (Peivast, 1998).

خشک‌کردن یکی از پرکاربردترین روش‌های قابل استفاده برای نگهداری میوه‌ها و سبزی‌ها است. در طول دوره خشک‌کردن، برای رسیدن به فعالیت آبی نهایی که پایداری میکروبی محصول را تضمین می‌کند و تغییرات فیزیکی و شیمیایی را به حداقل می‌رساند، درصد آب ماده غذایی کاهش می‌باید (Sayad, 2005). خشک‌کردن و سپس بازجذب آب

* نویسنده مسئول: simach.de@gmail.com

بازجذب مفیدند (Garcia-Segovia *et al.*, 2011). از بین این مدل‌ها، مدل‌های تجربی مانند پلگ (peleg) کاربرد بیشتری دارند (Moreira *et al.*, 2008). مدل دیگری که به طور گسترده در مهندسی غذایی به کار می‌رود ویبل (weibull) است که در تخمین پارامترهای سینتیک، انعطاف‌پذیری بالابی دارد (Garcia-Segovia *et al.*, 2011). مدل‌سازی برش‌های پرتقال خشکشده پس از بازجذب در آب مقطر با دمای ۲۵°C با نسبت نمونه به آب ۱ به ۲۵ انجام شد و رفتار بازجذب برش‌های Ruiz Diaz *et al.*, 2003 را بررسی کرد. رسیدن به شرایط بهینه فرایند بازجذب آب کدو از اهداف این تحقیق است که از طریق بررسی عوامل گوناگون مانند زمان بازجذب، دمای آب، سرعت همزن بر میزان ماده خشک، درصد جذب آب، و شاخص‌های رنگ، به عنوان معیارهای کیفی کدو، در طول دوره این فرایند محقق می‌شود.

مواد و روش‌ها

آماده سازی نمونه

کدوها از بازار محلی خریداری و در دمای ۴۰°C نگهداری شدند. سپس درجه‌بندی آنها از نظر رنگ، قطر، و وزن صورت گرفت. پس از شستشو و جدا کردن قسمت‌های سر و ته، وارد دستگاه برش شدند و به صورت اسلایس‌هایی با ضخامت ۰/۴ متر بر شدند. سپس با به کارگیری قالبی استوانه‌ای به صورت اسلایس‌هایی به قطر ۴ سانتی‌متر در آمدند. در مرحله بعد با قراردادن برش‌های کدو در محفظه بخار به مدت ۴ دقیقه آنژیم بری صورت گرفت.

فرایند خشک‌کردن اسلایس‌های کدو

اسلایس‌های کدو پس از سردشدن وارد خشک کن جریان هوای گرم (ساخت ایران) با سرعت ۱ متر بر ثانیه شدند و در دمای Cunningham *et al.*, 2008; Vega- Galves *et al.*, (۶۰°C ۰/۱۰۶۵ کیلوگرم آب در یک کیلوگرم ماده خشک، خشک شدند. خشک‌کردن با یک خشک کن جریان هوای گرم آزمایشگاهی مجهز به کنترل کننده‌های دما (دما سنج‌های حباب خشک و مروطوب) و سرعت هوای (Anemometer-Lutron) انجام گرفت. نمونه‌های خشک در کیسه‌های پلی‌اتیلنی بسته‌بندی و در یخچال نگهداری شدند. پس از پایان عملیات خشک‌کردن، همه نمونه‌های خشک شده و نگهداری شده در یخچال، با هم مخلوط و در یک بسته به مدت ۲۴ ساعت برای رسیدن به رطوبت یکسان در دمای یخچال نگهداری شدند.

بازسازی می‌شود (Garcia-Segovia *et al.*, 2011). در بازجذب، نسبت مواد جامد خشک به جرم آب از ۱ به ۵ تا ۱ به ۵۰، دمای آب بازجذب از دمای اتاق تا دمای جوش و زمان از ۲ دقیقه تا ۲۴ ساعت متغیر است. به کارگیری همزن در آب نیز امکان پذیر است (Lewicki, 1998). خواص بازجذب به عنوان تغییرات ایجاد شده در طول فراوری (پیش‌تیمار، خشک‌کردن، و بازجذب) هستند (Moreira *et al.*, 2008). معمول‌ترین شاخص که برای بازجذب بافت‌های گیاهی خشک استفاده می‌شود، نسبت وزن بعد از بازجذب به وزن ابتدایی است که ظرفیت بازجذب، نسبت بازجذب، درصد جذب آب، و یا ضریب آبدهی گفته می‌شود. نسبت وزن بعد از بازجذب به مقدار جرم ماده خشک نیز فاکتور مهمی است. نسبت وزن بعد از بازجذب به وزن قبل از خشک‌کردن نیز درصد بازجذب است (Lewicki, 1998). بافت ویژگی مهم دیگری برای به دست آوردن شرایط بهینه فرایندهای غذایی است. خواص بافتی به دما و زمان فرایندهای خشک‌کردن و بازجذب آب بستگی دارد. علاوه بر بافت و شاخص‌های جذب آب، خواص رنگی نیز به عنوان شاخص شرایط بازجذب آب است. تعیین شرایط بازجذب آب به منظور به حداقل رساندن تغییرات رنگی در طول این فرایند، از نقطه نظر اقتصادی نیز اهمیت دارد (Moreira *et al.*, 2008).

سینتیک بازجذب آب، به دما، نسبت جامد به مایع، ابعاد نمونه، آرزیمه بری، و روش خشک‌کردن بستگی دارد (Cunningham *et al.*, 2008). سینتیک بازجذب آب در دماهای گوناگون در محصولات خشک مانند سیب‌زمینی (Cunningham *et al.*, 2008; Markowski *et al.*, 2009 Singh *et al.*, 2009)، نمونه‌های هویج (Goula& adamopoulos, 2009)، ساقه کلم بروکلی (Sanjuan *et al.*, 1999)، (al., 2007)، جعفری (Maldonado *et al.*, 2010)، ابه (Gornicki, 2010)، پیاز (Vega-Galves *et al.*, 2009)، و آلوورا (Debnath *et al.*, 2004) بررسی شده است.

رفتار بازجذب مواد غذایی با افزایش حجم و مقدار رطوبت در طول زمان مشخص می‌شود. در مرحله اول فرایند، سرعت بازجذب بیشتر است و در مراحل بعد کاهش می‌یابد. دمای آب بر سرعت بازجذب و مقدار رطوبت متعادل مؤثر است و با افزایش دمای آب، این سرعت افزایش می‌یابد. روش خشک‌کردن و پیش‌تیمار می‌تواند بر بازجذب مؤثر باشد (Markowski *et al.*, 2009). با به کارگیری مدل‌های گوناگون می‌توان سینتیک بازجذب را بررسی کرد. این مدل‌ها برای بهینه‌سازی فرایند

(رابطه ۲)

$$\Delta E = \sqrt{(L^* - L_0^*)^2 + (a^* - a_0^*)^2 + (b^* - b_0^*)^2}$$

در این معادله اندیس ۰ مربوط به نمونه خشک است.

طرح آماری استفاده شده و روش آنالیز نتایج

بهمنظور بررسی اثر زمان، دمای آب، و سرعت همزدن در فرایند بازجذب آب بر خصوصیات کیفی اسلامیس‌های کدو شامل میزان ماده خشک، درصد جذب آب و رنگ، همه آزمایشات در سه تکرار و به صورت فاکتوریل در قالب طرح کاملاً تصادفی و آزمون مقایسه میانگین SAS 9.1 LS means با نرم‌افزار SAS تجزیه و تحلیل گردید. رسم نمودارها در این تحقیق با نرم‌افزار اکسل Excel 2010 (Excel 2010) انجام گرفت.

نتایج و بحث

میزان ماده خشک و درصد جذب آب

براساس نتایج تجزیه واریانس، زمان بازجذب، دما، و سرعت همزدن در سطح احتمال ۱ درصد، اثر معنی‌داری بر میزان ماده خشک و درصد جذب آب کدوی خشک شده داشته‌اند. تأثیرات متقابل زمان‌دما، زمان‌سرعت همزدن، و دما سرعت همزدن نیز در سطح احتمال ۱ درصد بر هر دو ویژگی معنی‌دار بوده است. مقایسه میانگین‌های ماده خشک و درصد جذب آب در کدوی خشک شده در طول دوره فرایند و در سه دمای بازجذب، نشان‌دهنده کاهش میزان ماده خشک و افزایش درصد جذب آب در کدو طی دوره بازجذب آب است (جدول ۱). با افزایش جذب آب از محیط آبی و خروج مواد محلول از ماده، درصد ماده خشک در کدو کاهش یافته است. این نتیجه در اسلامیس‌های موز خشک شده (Taiwo & Adeyemi, 2009) و سیب خشک شده (Taiwo et al., 2002) نیز گزارش شده است. دلیل عدم وجود تفاوت معنی‌دار در مراحل نهایی بازجذب، رسیدن کدو به رطوبت تعادلی است. براساس این جدول، کدوهایی که بازجذب آنها در آب با دمای 75°C صورت گرفته است، بهدلیل باز جذب آب بیشتر، درصد جذب آب بیشتر و ماده خشک کمتری دارند (جدول ۱). این نتیجه در مورد گروهی از میوه‌ها و سبزی‌های خشک شده (Krokida & Marinos-Kouris, 2003) نیز در قارچ خشک شده (Garcia-Pascual et al., 2006) و در قارچ خشک شده (Moreira et al., 2008; Cunningham et al., 2008) نیز گزارش شده است. افزایش دما بهدلیل تضعیف دیواره سلولی موجب افزایش ضریب انتشار و خروج مواد محلول از ماده می‌گردد و درنتیجه ماده خشک در طول دوره فرایند بازجذب کاهش می‌یابد (Moreira et al., 2008; Cunningham et al., 2008).

فرآیند بازجذب آب اسلامیس‌های خشک شده کدو

تعداد مشخصی از برش‌های کدوی خشک شده با وزن معین، در بشرهای حاوی آب مقطر با دماهای 25°C ، 50°C ، و 75°C (Cunningham et al., 2008; Moreira et al., 2008) ماده خشک به آب ۱ به 25°C قرار داده شدند (Markowski et al., 2009). همزدن آب با سرعت‌های 100 و 200 دور در دقیقه صورت گرفت و در بعضی تیمارها، فرایند بازجذب آب بدون همزدن انجام شد (Krokida & Marinos-Kouris, 2003; Cunningham et al., 2008; Maldonado et al., 2010). برای حفظ دما، بشرهای حاوی آب در بن‌ماری قرار داده شدند و در مواردی که نیاز به همزدن بود از بن‌ماری شیکردار استفاده شد. با برداشت نمونه در زمان‌های $1, 3, 5, 10, 20, 40, 60, 120$ ، و 180 دقیقه، و حذف آب سطحی از آنها، وزن نمونه‌ها، میزان ماده خشک و درصد جذب آب آنها بررسی شد. رنگ اسلامیس‌ها نیز براساس نتایج حاصل از آزمایشات اولیه در زمان‌های $1, 3, 5, 10, 20, 40, 60, 120$ ، و 180 دقیقه ارزیابی شد. زمان صفر مربوط به نمونه کدوی خشک شده است.

ارزیابی ویژگی‌های کیفی اسلامیس‌های کدو

اندازه‌گیری ماده خشک و درصد جذب آب ماده خشک اسلامیس‌های کدو در آون خلاً با دمای 70°C تعیین شد (AOAC). برای محاسبه درصد جذب آب از توزین برش‌های خشک کدو و برش‌هایی که پس از زمان مشخص از آب خارج شدند و بازجذب آب در آنها صورت گرفته، استفاده شده است (Lewicki, 1998):

$$\% \text{water absorption} = (\frac{M_r - M_d}{M_d}) \times 100 \quad (رابطه ۱)$$

در این معادله M جرم نمونه، و اندیس‌های d و r به ترتیب مربوط به نمونه پس از خشک کردن و بعد از بازجذب آب، است.

اندازه‌گیری شاخص‌های رنگ اسلامیس‌ها

برای ارزیابی رنگ اسلامیس‌های تازه و خشک شده کدو و اسلامیس‌ها در طول دوره بازجذب آب در زمان‌های معین از دستگاه رنگ‌سننجی (Lutron Model RGB-1002) در سیستم RGB استفاده گردید و پارامترهای ثبت شده دستگاه (پارامترهای R , G , و B) با نرم‌افزار easyRGB به سیستم هانترلب تبدیل شد. پارامترهای تعیین شده در این مطالعه شامل اندیس‌های رنگ‌سننجی L^* , a^* ، و b^* بود. ΔE نشان‌دهنده تغییر رنگ کلی اسلامیس است که با استفاده از رابطه ۲ محاسبه می‌شود (Moreira et al., 2008)

مادةٌ خشک و بیشترین درصد جذب آب در کدوی خشک شده زمانی مشاهده می‌شود که بازجذب آن در آب با دمای ۷۵°C به مدت ۳۰۰ دقیقه صورت بگیرد.

(Maldonado *et al.*, 2010). با افزایش دمای آب بازجذب، جذب آب بیشتر می‌شود و میزان انتقال جرم نیز افزایش می‌یابد (Vega-Galves *et al.*, 2009).

جدول ۱. اثر متقابل دما و زمان بازجذب بر میانگین میزان مادةٌ خشک و درصد جذب آب با سه سرعت گوناگون همزن

درصد جذب آب				درصد مادةٌ خشک			زمان (دقیقه)
۷۵°C	۵۰°C	۲۵°C	۷۵°C	۵۰°C	۲۵°C		
۰/۰۰۰ Ja	۰/۰۰۰ Ja	۰/۰۰۰ Ja	۹۰/۳۷۱ Aa	۹۰/۳۷۱ Aa	۹۰/۳۷۱ Aa	.	
۱۴۹/۰۱۷ Ia	۱۲۰/۸۳۵ Ib	۷۹/۲۹۴ Ic	۳۰/۲۵۱ Bc	۳۷/۵۸۹ Bb	۴۵/۴۲۷ Ba	۱	
۲۰۲/۵۷۸ Ha	۱۶۸/۶۸۳ Hb	۱۲۳/۶۵۲ Hc	۲۳/۷۴۶ Cc	۲۸/۷۷۱ Cb	۳۳/۸۷۲ Ca	۳	
۲۴۸/۸۷۶ Ga	۲۱۳/۱۵۳ Gb	۱۵۶/۷۵۷ Gc	۲۰/۲۶۷ Dc	۲۴/۸۲۶ Db	۲۹/۴۳۷ Da	۵	
۳۱۵/۰۱۶ Fa	۲۶۳/۰۲۰ Fb	۲۰۸/۵۰۱ Fc	۱۳/۸۸۹ Ec	۱۶/۸۸۴ Eb	۲۱/۱۱۷ Ea	۱۰	
۳۸۰/۲۴۲ Ea	۳۱۹/۵۴۷ Eb	۲۶۷/۶۳۰ Ec	۱۱/۷۰۵ Fc	۱۴/۲۴۹ Fb	۱۷/۴۷۳ Fa	۲۰	
۴۳۲/۷۷۱ Da	۳۸۲/۰۵۰ Db	۳۳۲/۰۲۳ Dc	۹/۷۳۰ Gc	۱۱/۷۷۲ Gb	۱۴/۳۳۸ Ga	۴۰	
۴۷۳/۸۴۸ Ca	۴۲۲/۱۴۳ Cb	۳۷۴/۱۵۸ Cc	۸/۶۸۲ GHc	۱۰/۵۷۸ Gb	۱۲/۹۴۱ Ga	۶۰	
۵۳۳/۷۷۶ Ba	۴۷۶/۹۷۴ Bb	۴۲۲/۷۶۱ Bc	۷/۳۲۰ HlB	۸/۶۶۴ Hb	۱۰/۵۱۳ Ha	۱۲۰	
۵۶۳/۲۳۸ Aa	۵۰۰/۹۲۲ Ab	۴۴۷/۱۶۶ Ac	۶/۸۰۴ Ia	۷/۹۴۰ Ha	۹/۲۷۱ Ha	۱۸۰	
۵۷۴/۴۰۰ Aa	۵۱۴/۱۳۶ Ab	۴۵۸/۸۰۱ Ac	۶/۴۷۵ Ia	۷/۶۹۷ Ha	۹/۰۴۷ Ha	۳۰۰	

حروف غیر مشترک در هر ستون (حروف بزرگ) و ردیف (حروف کوچک) نشان‌دهنده تفاوت معنی‌دار در سطح احتمال ۵ درصد است.

همزدن اثر ناچیزی بر توانایی بازجذب آب داشته است. این محققان سیب‌زمینی و هویج خشک را بررسی کرده‌اند و بیشترین مقاومت به انتقال آب را مربوط به خود مادهٔ غذایی معرفی کرده‌اند (Cunningham *et al.*, 2008; Marabi *et al.*, 2004).

کدوهایی که بازجذب آب در آنها با به کارگیری همزن با سرعت ۲۰۰ دور در دقیقه صورت گرفته است، مادهٔ خشک کمتر و درصد جذب رطوبت بیشتری دارند (جدول ۲). همزدن آب موجب کاهش مقاومت خارجی به انتقال جرم و درنتیجه افزایش جذب آب می‌شود (Maldonado *et al.*, 2010). این نتیجه برخلاف نظر بعضی محققان است که گزارش کرده‌اند

جدول ۲. اثر متقابل دما و سرعت همزن بر میانگین میزان مادةٌ خشک و درصد جذب آب در کل زمان بازجذب

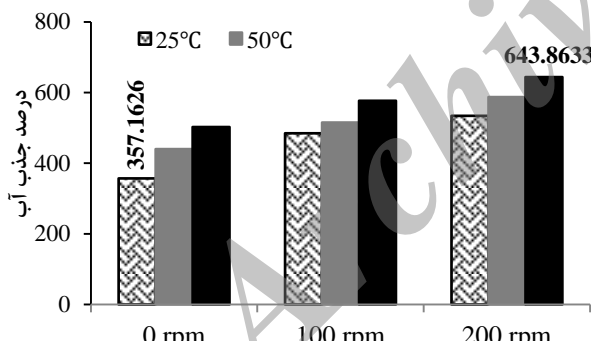
درصد جذب آب				درصد مادةٌ خشک			سرعت (دور در دقیقه)
۷۵°C	۵۰°C	۲۵°C	۷۵°C	۵۰°C	۲۵°C		
۳۱۶/۷۷۷ Ca	۲۶۴/۵۷۸ Cb	۲۰۷/۰۵۳ Cc	۲۲/۳۱۳ Ac	۲۶/۲۱۷ Ab	۳۱/۱۵۶ Aa	.	
۳۵۰/۲۰۲ Ba	۳۱۰/۹۰۶ Bb	۲۷۴/۸۳۰ Bc	۲۰/۳۶۵ Bc	۲۲/۶۷۷ Bb	۲۵/۱۰۳ Ba	۱۰۰	
۳۸۹/۵۰۱ Aa	۳۴۶/۷۳۳ Ab	۳۰/۱۰۴۷ Ac	۱۹/۸۴۲ Bc	۲۱/۸۳۵ Bb	۲۳/۸۷۰ Ca	۲۰۰	

حروف غیر مشترک در هر ستون (حروف بزرگ) و ردیف (حروف کوچک) نشان‌دهنده تفاوت معنی‌دار در سطح احتمال ۵ درصد است.

(Galves *et al.*, 2009)، در سیب زمینی خشک شده (Cunningham *et al.*, 2008; Markowski *et al.*, 2009)، در انبهٔ خشک شده (Maldonado *et al.*, 2010)، و در شامبلو ط خشک شده (Moreira *et al.*, 2008) گزارش شده است. سرعت بالای جذب آب در مراحل اولیّه بازجذب به دلیل ورود آب به لوله‌های مؤین روی سطح نمونه است. بعد از پرشدن لوله‌های مؤین آزاد و فضاهای بین‌سلولی با آب، سرعت جذب آب کاهش می‌یابد (Cunningham *et al.*, 2008; Vega-Galves *et al.*,

در طول دورهٔ بازجذب آب، افزایش درصد جذب آب در کدوی خشک شده مشاهده شده است (شکل ۱). این نتیجه با نتایج محققان دیگری که افزایش رطوبت را در طول دورهٔ بازجذب سیب‌زمینی خشک شده گزارش کرده‌اند، مطابقت دارد (Markowski *et al.*, 2009). در همهٔ منحنی‌ها شبیه منحنی و سرعت افزایش درصد جذب آب در دقایق اولیّه بازجذب بیشتر است. سرعت زیاد جذب آب در مراحل اولیّه بازجذب و سپس کاهش آن در ادامهٔ فرایند در آلورای خشک شده (Vega-

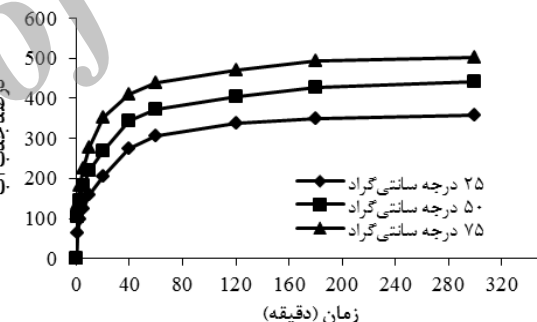
زمان بازجذب بر میزان شاخص‌های رنگ کدوی خشکشده نشان‌دهنده کاهش شاخص‌های L^* , a^* , b^* و افزایش شاخص ΔE کدو در طول دوره بازجذب تا دقیقه ۱۸۰ است (جدول ۳). شاخص L^* شاخص تیرگی-روشنی است که هرچه بیشتر باشد، نشان‌دهنده تیرگی است و بدلیل جذب آب در طول دوره بازجذب این شاخص کاهش داشته است و نمونه‌ها تیره‌تر شده‌اند. کاهش شاخص L^* در طول بازجذب آب در اسلاسیس‌های خشکشده سیب نیز گزارش شده است (Taiwo *et al.*, 2002). شاخص a^* , b^* شاخص قرمزی-سبزی است که هرچه بیشتر باشد، نشان‌دهنده قرمزی و هرچه کمتر باشد، نشان‌دهنده سبزی است. در طول دوره بازجذب این شاخص نیز کاهش داشته و رنگ سبز در نمونه‌ها بیشتر شده است. شاخص a^* , b^* ، شاخص زردی-آبی است که هرچه بیشتر باشد، نشان‌دهنده زردی و هرچه کمتر باشد، نشان‌دهنده آبی بودن است. با توجه به کاهش میزان شاخص b^* در کدوی خشکشده در طول دوره بازجذب آب، رنگ زرد در نمونه‌ها کم شده است. با توجه به تغییرات شاخص‌های رنگ، تغییرات کلی رنگ (ΔE) در کدوی خشک در طول دوره بازجذب افزایش نشان می‌دهد و مهم‌ترین عامل آن تغییرات شاخص L^* است.



شکل ۲. مقادیر درصد جذب آب کدوی خشکشده در پایان دوره بازجذب آب (۳۰۰ دقیقه) در همه تیمارها

در کل زمان بازجذب، صرف نظر از سرعت همزن، اختلاف بین شاخص‌های رنگ کدو در سه دمای به کارگیری شده در سطح احتمال ۵ درصد معنی‌دار است و کدوهایی که بازجذب آنها در آب با دمای 25°C صورت گرفته است، شاخص‌های L^* , a^* ، b^* بیشتری دارند. درنتیجه این کدوها روشن‌ترند، سبزی کمتر و زردی بیشتری دارند. در حالی که شاخص‌های L^* , a^* , b^* در کدوهایی که بازجذب آنها در آب با دمای 25°C صورت گرفته، حداقل است. کاهش شاخص L^* با افزایش دمای بازجذب آب در اسلاسیس‌های سیب گزارش شده است

(2009) و در طول بازجذب نیروی محرک لازم برای انتقال آب تا رسیدن به رطوبت متعادل کم می‌شود (Moreira *et al.*, 2008). در شکل، شب منحنی مربوط به دمای 75°C در مقایسه با 50°C و 25°C نسبت به 25°C بیشتر بوده و درنتیجه سرعت جذب رطوبت در دمای 75°C در مقایسه با دو دمای دیگر افزایش داشته است. با بالارفتن دمای آب بازجذب، میزان انتقال جرم در طول فرایند بازجذب آب افزایش می‌یابد (Vega-*et al.*, 2009) و ضریب دیفووزیون مؤثر جذب آب زیاد می‌شود (Galves *et al.*, 2010). افزایش سرعت بازجذب آب و مقدار آب جذب شده با افزایش دما، در ساقه بروکلی خشکشده (Sanjuan *et al.*, 1999)، در گروهی از میوه‌ها و سبزی‌ها (Krokida & Marinos-Kouris, 2003)، در سیب‌زمینی خشکشده (Markowski *et al.*, 2009)، در جعفری خشکشده (Gornicki, 2010)، در انبه خشکشده Moreira *et al.*, (Maldonado *et al.*, 2010) و در شاهبلوط (2008) گزارش شده است.



شکل ۱. تغییرات درصد جذب آب کدوی خشکشده در طول دوره فرایند بازجذب آب با دمای گوناگون و بدون همزن

با توجه به شکل ۲، در پایان فرایند بازجذب، بیشترین میزان درصد جذب آب مربوط به کدویی است که بازجذب آب آن در دمای 75°C با به کارگیری همزن با سرعت ۲۰۰ دور در دقیقه صورت گرفته است و کمترین مقدار رطوبت در کدویی مشاهده شده است که به‌منظور بازجذب در آب با دمای 25°C بدون استفاده از همزن قرار گرفته است.

شاخص‌های رنگ L^* , a^* , b^* و ΔE براساس نتایج تجزیه واریانس، تأثیرات زمان بازجذب، دما و سرعت همزن، در سطح احتمال ۱ درصد بر شاخص‌های رنگ کدوی خشکشده معنی‌دار هستند. اثر متقابل زمان-دما بر شاخص‌های رنگ L^* , a^* , b^* و ΔE و اثر متقابل زمان-سرعت همزن بر شاخص‌های L^* و ΔE در سطح احتمال ۱ درصد معنی‌دار است. صرف نظر از سرعت همزن، تأثیرات متقابل دما و

نمونه‌ها تغییرات رنگ کمتری داشته‌اند (جدول ۳). افزایش دمای آب و زمان بازجذب به دلیل جذب آب بیشتر موجب افزایش تغییرات رنگ در کدوی خشک شده می‌گردد. نتایج Moreira *et al.*, (2008) بیشترین تغییرات رنگ در کدوی خشک شده زمانی مشاهده می‌شود که بازجذب آن در آب با دمای ۷۵°C و به مدت ۱۸۰ دقیقه صورت بگیرد (جدول ۳).

(Taiwo *et al.*, 2002) صرف نظر از سرعت همزن، در کل زمان بازجذب تفاوت معنی‌داری بین شاخص ΔE کدو در سه دمای به کارگیری شده، در سطح احتمال ۵ درصد وجود دارد و کدوهایی که بازجذب آنها در آب با دمای ۷۵°C صورت گرفته است، شاخص ΔE بیشتری دارند و تغییرات کلی رنگ در آنها بیشتر است. شاخص ΔE در کدوهایی که بازجذب آنها در آب با دمای ۲۵°C صورت گرفته، حداقل است و در مقایسه با سایر

جدول ۳. اثر متقابل دما و زمان بازجذب بر میانگین شاخص‌های رنگ L^* , a^* و b^* با سه سرعت متفاوت همزن

ΔE	شاخص			شاخص			شاخص			شاخص			زمان
	$75^\circ C$	$50^\circ C$	$25^\circ C$		$75^\circ C$	$50^\circ C$	$25^\circ C$		$75^\circ C$	$50^\circ C$	$25^\circ C$		(دقیقه)
۰/۰۰۰ ^a	۰/۰۰۰ ^a	۰/۰۰۰ ^a	۰/۰۰۰ ^a	۱۵/۰۴۰ ^{Aa}	۱۵/۰۴۰ ^{Aa}	۱۵/۰۴۰ ^{Aa}	-۰/۶۳۹ ^{Aa}	-۰/۶۳۹ ^{Aa}	-۰/۶۳۹ ^{Aa}	۸۵/۹۸۲ ^{Aa}	۸۵/۹۸۲ ^{Aa}	۸۵/۹۸۲ ^{Aa}	.
۹/۳۱ ^a	۸/۳۶۷ ^{hb}	۴/۵۰۰ ^{Hc}	۱۳/۶۴۰ ^{Bc}	۱۴/۱۹۳ ^{Bb}	۱۴/۶۱۳ ^{Ba}	-۰/۷۰۳ ^{Bc}	-۰/۶۸۶ ^{Bb}	-۰/۶۸۶ ^{Ba}	۷۶/۷۷۸ ^{Bb}	۷۷/۶۶۴ ^{Bb}	۸۱/۴۹۶ ^{Ba}	۱	
۱۲/۹۷۸ ^{Ha}	۱۰/۲۴۵ ^{Gb}	۶/۷۳۷ ^{Gc}	۱۳/۱۸۷ ^{Cc}	۱۳/۸۵۷ ^{Bb}	۱۴/۲۱۲ ^{Ca}	-۰/۷۲۷ ^{Cc}	-۰/۷۴۶ ^{Dc}	-۰/۷۲۴ ^{Db}	۷۱/۵۹۴ ^{Ca}	۷۲/۱۱۶ ^{Cc}	۷۵/۱۰۴ ^{Cb}	۷۹/۲۹۸ ^{Ca}	۳
۱۴/۵۵۸ ^{Ga}	۱۱/۶۹۹ ^{Fb}	۸/۲۰۰ ^{Fc}	۱۲/۸۳۹ ^{Dc}	۱۳/۴۴۹ ^{Cb}	۱۳/۸۷۵ ^{Ca}	-۰/۷۴۶ ^{Dc}	-۰/۷۴۶ ^{Ec}	-۰/۷۴۶ ^{Eb}	۷۱/۵۹۴ ^{Da}	۷۴/۳۹۲ ^{Db}	۷۷/۸۶۴ ^{Da}	۵	
۱۷/۱۲۶ ^{Fa}	۱۳/۹۶۳ ^{Eb}	۱۰/۷۲۳ ^{Ec}	۱۲/۴۹۳ ^{Dc}	۱۳/۰۱۹ ^{Db}	۱۳/۴۹۱ ^{Da}	-۰/۷۶۶ ^{Ec}	-۰/۷۴۵ ^{Eb}	-۰/۷۱۶ ^{Da}	۶۹/۰۴۸ ^{Ec}	۷۲/۱۶۷ ^{Eb}	۷۵/۳۷۵ ^{Ea}	۱۰	
۲۰/۲۶۰ ^{Ea}	۱۶/۸۱۲ ^{Db}	۱۲/۹۲۴ ^{Dc}	۱۱/۸۸۱ ^{Ec}	۱۲/۴۴۵ ^{Eb}	۱۳/۱۱۲ ^{Ea}	-۰/۷۸۲ ^{Ec}	-۰/۷۶۱ ^{Eb}	-۰/۷۳۵ ^{Ea}	۶۵/۹۱۱ ^{Ec}	۶۹/۳۷۲ ^{Eb}	۷۳/۲۰۷ ^{Ea}	۲۰	
۲۲/۶۶۹ ^{Da}	۱۹/۳۶۶ ^{Cb}	۱۴/۷۴۱ ^{Cc}	۱۱/۴۰۰ ^{Fc}	۱۲/۰۳۲ ^{Fb}	۱۲/۷۹۴ ^{EFa}	-۰/۸۰۳ ^{Ge}	-۰/۷۷۹ ^{Gb}	-۰/۷۴۸ ^{EFa}	۶۲/۵۹۵ ^{Gc}	۶۶/۸۵۲ ^{Gb}	۷۱/۴۱۴ ^{Ga}	۴۰	
۲۶/۲۵۱ ^{Ca}	۲۱/۶۱۷ ^{Bb}	۱۶/۹۹۵ ^{Bc}	۱۰/۹۲۶ ^{Gc}	۱۱/۷۱۷ ^{FGb}	۱۲/۶۱۶ ^{FGa}	-۰/۸۲۳ ^{He}	-۰/۷۹۲ ^{Gb}	-۰/۷۶۴ ^{Fa}	۶۰/۰۵۰ ^{He}	۶۴/۶۲۳ ^{Hb}	۶۹/۱۶۱ ^{Ha}	۶۰	
۲۹/۱۴۷ ^{Ba}	۲۲/۹۱۲ ^{Ab}	۱۸/۶۱۴ ^{Ac}	۱۰/۴۰۰ ^{Hc}	۱۱/۳۸۸ ^{GHb}	۱۲/۳۹۵ ^{Ga}	-۰/۸۵۱ ^{Ic}	-۰/۸۲۱ ^{Hb}	-۰/۷۸۵ ^{Ga}	۵۷/۰۲۰ ^{Ilc}	۶۲/۳۵۲ ^{Ib}	۶۷/۵۵۷ ^{Ia}	۱۲۰	
۳۰/۴۵۰ ^{Aa}	۲۴/۶۸۹ ^{Ab}	۱۹/۰۵۲ ^{Ac}	۱۰/۱۳۴ ^{Hc}	۱۱/۱۹۷ ^{Hb}	۱۲/۲۸۵ ^{Ga}	-۰/۸۶۹ ^{Jc}	-۰/۸۳۳ ^{Hb}	-۰/۷۹۳ ^{Ga}	۵۵/۹۳۲ ^{Jc}	۶۱/۵۹۵ ^{Ib}	۶۷/۱۳۰ ^{Ia}	۱۸۰	

حروف غیر مشترک در هر ستون (حروف بزرگ) و ردیف (حروف کوچک) تشان دهنده تفاوت معنی‌دار در سطح احتمال ۵ درصد است.

را در آب با به کارگیری سرعت همزن ۲۰۰ دور در دقیقه انجام داده‌اند، افزایش یافته است.

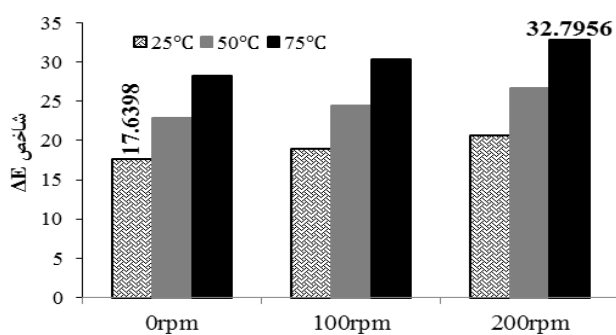
جدول ۴ مقایسه میانگین شاخص‌های رنگ L^* , a^* و b^* در سطح احتمال ۵ درصد (LSD) در سطح احتمال ۵ درصد همسن (آزمون LSD) در سطح احتمال ۵ درصد

ΔE	سرعت همزن	شاخص L^*	شاخص a^*	شاخص b^*	شاخص	سرعت همزن	شاخص L^*	شاخص a^*	شاخص b^*	شاخص	(دور در دقیقه)
۱۳/۳۲۲ ^C	۱۲/۲۰۲ ^A	-۰/۷۲۳ ^A	۷۲/۷۹۰ ^A	.	.	۱۲/۲۰۲ ^A	-۰/۷۲۳ ^A	۷۲/۷۹۰ ^A	.	.	.
۱۴/۹۹۱ ^B	۱۲/۷۰۴ ^B	-۰/۷۴۶ ^B	۷۱/۴۷۹ ^B	۱۰۰	۱۰۰	۱۲/۷۰۴ ^B	-۰/۷۴۶ ^B	۷۱/۴۷۹ ^B	۱۰۰	۱۰۰	۱۰۰
۱۶/۶۷۸ ^A	۱۲/۵۷۶ ^B	-۰/۷۶۳ ^C	۶۹/۴۸۹ ^C	۲۰۰	۲۰۰	۱۲/۵۷۶ ^B	-۰/۷۶۳ ^C	۶۹/۴۸۹ ^C	۲۰۰	۲۰۰	۲۰۰

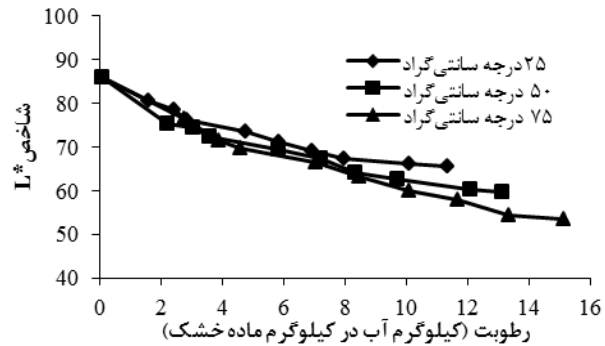
* در هر ستون میانگین‌های دارای حروف متفاوت در سطح احتمال آماری ۵ درصد اختلاف معنی‌دارند.

با جذب آب در طول دوره فرایند بازجذب در دماهای متفاوت، شاخص‌های رنگ L^* , a^* و b^* کدوی خشک شده کاهش یافته است. در دقایق اولیه بازجذب کاهش این شاخص‌ها با سرعت بیشتری صورت گرفته است (شکل ۳). سرعت زیاد جذب آب در مراحل اولیه بازجذب و سپس کاهش آن در ادامه فرایند، دلیل این اختلاف سرعت است. در هر سه شکل، شبیه منحنی مربوط به دمای ۷۵°C در مقایسه با ۵۰° و ۵۰% نسبت به ۲۵°C بیشتر بوده است. این نتیجه به توجه به جذب بیشتر آب Maldonado *et al.*, (2010) توسط کدو در این دما، قابل توجیه است (Maldonado *et al.*, 2010).

براساس نتایج به دست آمده، کدوهایی که بازجذب آنها در آب بدون استفاده از همزن صورت گرفته است، شاخص‌های L^* , a^* و b^* بیشتری دارند در حالی که این شاخص‌های رنگ در کدوهایی که بازجذب آنها در آب با استفاده از همزن با سرعت ۲۰۰ دور در دقیقه صورت گرفته، حداقل است (جدول ۴). صرف نظر از دما، در کل زمان بازجذب تفاوت معنی‌داری بین شاخص ΔE کدو در سه سرعت همزن به کارگیری شده در سطح احتمال ۵ درصد وجود دارد و کدوهایی که بازجذب آنها در آب با استفاده از همزن با سرعت استفاده از همزن با سرعت ۲۰۰ دور در دقیقه صورت گرفته است، شاخص ΔE بیشتری دارند و تغییرات کلی رنگ در آنها بیشتر است. شاخص ΔE در کدوهایی که بازجذب آنها بدون همزدن آب انجام شده، حداقل بوده است و در مقایسه با سایر نمونه‌ها تغییرات رنگ کمتری داشته‌اند (جدول ۴). با توجه به اینکه همزدن آب موجب کاهش مقاومت خارجی به انتقال جرم و درنتیجه افزایش جذب آب می‌شود (Maldonado *et al.*, 2010)، بازجذب بیشتر آب با استفاده از همزن با سرعت ۲۰۰ دور در دقیقه، مهم‌ترین عامل در افزایش تغییرات رنگ در این کدو است. با جذب مقدار بیشتر آب، تغییرات مقداری شاخص‌های رنگ، خصوصاً L^* , بیشتر شده است و درنتیجه تغییرات کلی رنگ (ΔE) در کدوهای خشک شده‌ای که باز جذب



شکل ۵. مقادیر شاخص ΔE در کدویی خشک شده در پایان دوره باز جذب آب (۱۸۰ دقیقه) در همه تیمارها



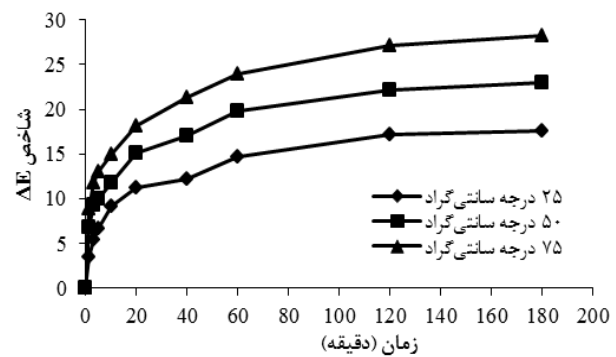
شکل ۳. تغییرات شاخص L^* در کدویی خشک شده در مقابل میزان رطوبت آن در طول دوره فرایند باز جذب آب با دماهای گوناگون و سرعت همزدن ۲۰۰ دور در دقیقه

نتیجه‌گیری کلی

براساس نتایج به دست آمده، زمان باز جذب، دما، و سرعت همزدن در سطح احتمال ۱ درصد، اثر معنی‌داری بر ماده خشک، درصد جذب آب، و شاخص‌های رنگ (L^* , a^* , b^*) و ΔE) در کدویی خشک شده داشته‌اند. افزایش درصد جذب آب کدو طی دوره باز جذب تا دقیقه ۱۸۰ رخ داده است و پس از آن تغییر محسوسی دیده نمی‌شود. کدوهایی که باز جذب آنها در آب با دمای 75°C صورت گرفته است دارای بیشترین درصد جذب آب و تغییرات کلی رنگ (L^* , a^* , b^*) بوده‌اند. کدوهایی که باز جذب شاخص‌های رنگ (L^* , a^* , b^*) بوده‌اند. کدوهایی که باز جذب آنها در آب با دمای 25°C صورت گرفته است حداقل درصد جذب آب و شاخص ΔE و حداکثر میزان ماده خشک و شاخص‌های رنگ (L^* , a^* , b^*) را داشته‌اند. درنتیجه این کدوها دارای روشنی و زردی بیشتر و سبزی کمتری هستند. کدوهایی که باز جذب آنها در آب بدون استفاده از همزدن انجام شده است، ماده خشک و شاخص‌های رنگ (L^* , a^* , b^*) بیشتری داشته‌اند و درصد جذب آب و شاخص ΔE در آنها حداقل بوده است. کدوهایی که باز جذب آنها در آب با استفاده از همزدن با سرعت ۲۰۰ دور در دقیقه صورت گرفته است، درصد جذب آب و شاخص ΔE حداکثر را داشته‌اند و دارای کمترین میزان ماده خشک و شاخص‌های رنگ (L^* , a^* , b^*) بوده‌اند. در طول فرایند، درصد جذب آب و شاخص ΔE افزایش و میزان ماده خشک و شاخص‌های رنگ (L^* , a^* , b^*) کاهش داشته‌اند. سرعت تغییرات در دقایق اولیه باز جذب، در همه شرایط به کاربرده شده، بیشتر بوده و در ادامه فرایند، کاهش یافته است. سرعت و میزان تغییرات در دمای 75°C در مقایسه با 50 و 25 درجه میزان ΔE بیشتر بوده است.

پس از طی زمان باز جذب، بیشترین درصد جذب آب و شاخص ΔE و کمترین مقدار ماده خشک و شاخص‌های رنگ (L^* , a^* , b^*) مربوط به کدویی است که باز جذب آن در آب

شاخص ΔE در طول دوره باز جذب آب در همه شرایط به کاربرده شده، افزایش یافته است. در شکل ۴ افزایش شاخص ΔE کدویی خشک شده در طول دوره باز جذب آب با دماهای گوناگون و بدون استفاده از همزدن نشان داده شده است. شبیه منحنی‌ها در دقایق اولیه باز جذب آب بیشتر بوده و کاهش شاخص ΔE با سرعت بیشتری صورت گرفته است. سرعت زیاد جذب آب در مراحل اولیه باز جذب و سپس کاهش آن در ادامه فرایند دلیل این اختلاف سرعت است. با توجه به جذب بیشتر آب توسط کدو در دمای 75°C ، شاخص ΔE در این دما افزایش بیشتری داشته است. با افزایش دمای آب باز جذب، ضریب Maldonado *et al.*, (2010) دیفوزیون مؤثر جذب آب زیاد می‌شود).



شکل ۴. تغییرات شاخص ΔE در کدویی خشک شده در طول دوره فرایند باز جذب آب با دماهای گوناگون و بدون همزدن

در پایان دوره باز جذب آب بیشترین شاخص ΔE ، مربوط به کدویی است که باز جذب آب آن در دمای 75°C و با استفاده از همزدن با سرعت ۲۰۰ دور در دقیقه صورت گرفته است و کمترین مقدار این شاخص در کدویی مشاهده شده است که برای باز جذب در آب با دمای 25°C بدون همزدن، قرار گرفته است (شکل ۵).

سپاسگزاری

بدین وسیله از معاونت پژوهشی دانشگاه آزاد اسلامی واحد شوستر برای تأمین اعتبار لازم و فراهم کردن امکان اجرای این تحقیق، تشکر و قدردانی می‌شود.

REFERENCES

- AOAC. (1984). *Official method of analysis of association of analytical chemists* (14th ed). Published by Association of Official Analysis Chemists, USA.
- Cunningham, S. E., McMinn, W. A. M., Magee, T. R. A. & Richardson, P. S. (2008). Experimental study of rehydration kinetics of potato cylinders. *Food and Bioproducts Processing*, 86, 15- 24.
- Debnath, S., Hemavathy, J., Bhat, K. K. and Rastogi, N.K. (2004). Rehydration Characteristics of Osmotic Pretreated and Dried Onion. *Food and Bioproducts Processing*, 82, 304- 310.
- Fellows, P. (1990). *Food Processing Technology, Principles and Practice*. Ellis Horwood, New York.
- Garcia-Pascual, P., Sanjuan, N., Melis, R. & Mulet, A. (2006). Morchella esculenta (morel) rehydration process modelling. *Journal of Food Engineering*, 72, 346- 353.
- Garcia-Segovia, P., Andres-Bello, A. & Martinez-Monzo, J. (2011). Rehydration of air-dried Shiitake mushroom (*Lentinus edodes*) caps: Comparison of conventional and vacuum water immersion processes. *LWT - Food Science and Technology*, 44, 480- 488.
- Gornicki, k. (2010). Effect of convectional drying parameters on rehydration kinetics of parsley dried slices. *Annals of Warsaw University of Life Sciences*, 55, 27-33.
- Goula, A. M. & Adamopoulos, K. G. (2009). Modeling the rehydration process of dried tomato. *Drying Technology*, 27(10), 1078- 1088.
- Krokida, M. K. & Marinos-Kouris, D. (2003). Rehydration kinetics of dehydrated products. *Journal of Food Engineering*, 57, 1-7.
- Lewicki, P. P. (1998). Some remarks on rehydration of dried foods. *Journal of Food Engineering*, 36, 81-87.
- Maldonado, S., Arnau, E. & Bertuzzi, M. A. (2010). Effect of temperature and pretreatment on water diffusion during rehydration of dehydrated mangoes. *Journal of Food Engineering*, 96, 333- 341.
- Marabi, A., Jacobson, M., Livings, S. J. & Saguy, I. S. (2004). Effect of mixing and viscosity on rehydration of dry food particulates. *Euro Food Research Technology*, 218 (4), 339- 344.
- Markowski, M., Bondaruk, J. & Błaszcak, W. (2009). Rehydration behavior of vacuum-microwave-dried potato cubes. *Drying Technology*, 27, 296- 305.
- Moreira, R., Chenlo, F., Chaguri, L. & Fernandes, C. (2008). Water absorption, texture, and color kinetics of air-dried chestnuts during rehydration. *Journal of Food Engineering*, 86, 584- 594.
- Peivast, G. (1998). *Vegetable gardening*. pp. 227-231. (In Farsi)
- Ruiz Diaz, G., Martinez-Monzo, J., Fito, P. & Chiralt, A. (2003). Modelling of dehydration-rehydration of orange slices in combined microwave/air drying . *Innovative Food Science and Emerging Technologies*, 4, 203- 209.
- Sanjuan, N., Simal, S., Bon, J. & Mulet, A. (1999). Modelling of broccoli stems rehydration process . *Journal of Food Engineering*, 42, 27- 31.
- Sayad, M. (2005). Effect of air temperature and velocity on thin layer drying kinetics of apples slices. M.S. thesis, Tabriz University. (In Farsi)
- Singh, B., Panesar, S.P. & Nanda, V. (2007). Rehydration Kinetics of Un-Osmosed and Pre-Osmosed Carrot Cubes. *World Journal of Dairy & Food Sciences*, 2 (1), 10-17.
- Taiwo, K. A. & Adeyemi, O. (2009). Influence of blanching on the drying and rehydration of banana slices. *African Journal of Food Science*, 3(10), 307- 315.
- Taiwo, K.A., Angersbach, A. & Knorr, D. (2002). Influence of high intensity electric field pulses and osmotic dehydration on the rehydration characteristics of apple slices at different temperatures. *Journal of Food Engineering*, 52, 185-192.
- Vega-Gálvez, A., Notte-Cuello, E., Lemus-Mondaca, R., Zura, L. & Miranda, M. (2009). Mathematical modelling of mass transfer during rehydration process of Aloe vera (*Aloe barbadensis Miller*). *Food and Bioproducts Processing*, 87, 254- 260.